

# دراسة نموذج IGARCH في حالة توزيع ثنائي الحد

أ.د. جواد كاظم الموسوي\* م. علي ياسين غني\*\*

## المسخلص:

تعد دراسة النموذج IGARCH من الدراسات الحديثة في مجال السلاسل الزمنية، وان اهم ما يميز هذه النماذج ان كلا من المتوسط المشروط والتباين المشروط يعتمد على الماضي اي غير ثابتين. وان اغلب هذه الدراسات استخدمت توزيعين منقطعين هما توزيع بواسون وتوزيع ثنائي الحد السالب . في بحثنا هذا تم اقتراح توزيع ثنائي الحد. ومن ثم دراسته نظريا وتجريبيا وعمليا. وبذلك يهدف البحث الى دراسة السلاسل الزمنية عندما تكون مشاهداتها قيماً صحيحة وتتبع السلسلة الزمنية التوزيع المتقطع المقترح. لقد تبين في الجانب التجريبي ان النماذج المدروسة في حالة توزيع ثنائي الحد كانت نتائجها افضل مقارنة مع التوزيع الطبيعي. وفي الجانب العملي فقد اخذت بيانات حقيقية تمثل عدد التواؤم الاسبوعي في مستشفى ابن البلدي للنسائية والتوليد وكانت البيانات تتبع توزيع ثنائي الحد وتعاني ايضا من مشكلة عدم تجانس التباين المشروط للخطأ، وتم ازالة تأثير المشكلة بمطابقة النموذج IGARCH(1,1).

## Abstract

*IGARCH model study is one of the recent studies in the field of time series, and that the most important characteristic of these models to both conditional mean and conditional variance depends on the past. And most of these studies used two distributions Poisson and the negative binomial.*

*In our research, we suggest binomial distribution. And then study the distribution proposed theoretically, empirically and practically. Thus the goal of the research is to study the time series when observations are integer values and follows the time series of GARCH model in discrete distributions.*

*The results of the experimental side in binomial distribution was good for this model compared with the normal distribution.*

*In practical side examined one time series data, application are real data represents the number of twins weekly Ebin - Albaladi hospital obstetrics and Gynecology and data following binomial distribution and also suffers from the problem of heteroscedasticity of the conditional variance of error, and remove the influence problem matching IGARCH(1,1) model.*

\* الجامعة المستنصرية / كلية الادارة والاقتصاد .

\*\* الجامعة المستنصرية / كلية الادارة والاقتصاد .

مقبول للنشر بتاريخ 2015/9/9

مستل من أطروحة دكتوراة

## المقدمة:

في عام 2006 يعد الباحثون Ferland, Latour & Oraichi<sup>[2]</sup> اول من درس نماذج ARCH في حالة التوزيعات المتقطعة وسمي نموذج (IARCH) وقد استخدم الباحثون توزيع Poisson في عملية النمذجة، وقدموا نموذج الانحدار الذاتي بعدم تجانس التباين المشروط للاعداد الصحيحة (integer). وفي عام 2011 قدم Zhu<sup>[7]</sup> نموذج IGARCH باستخدام توزيع ثنائي الحد السالب للسلاسل الزمنية ذات البيانات المتقطعة التي تحوي قيما متطرفة، ودرس دالة الارتباط الذاتي وشروط الاستقرارية.

### توزيع ثنائي الحد (Binomial Distribution)

تم اقتراح هذا النموذج من قبل الباحثين لدراسة نموذج IGARCH في السلاسل الزمنية ذات القيم الصحيحة، وفيما يأتي وصف تفصيلي لهذا النموذج.

ليكن  $X_t$  متغيرا عشوائيا يتبع توزيع ثنائي الحد المشروط بالمعلومات السابقة  $F_{t-1}$  بالمعلمتين  $(g, \theta_t)$  حيث ان  $(0 < \theta_t < 1)$  وتمثل احتمال النجاح، وان  $g$  يمثل الحد الاعلى لعدد حالات النجاح وهو عددا صحيحا غير سالب،  $X_t$  يمثل عدد حالات النجاح، فان دالة الكثافة الاحتمالية المشروطة تكون:

$$P(X_t = x_t | F_{t-1}) = C_{x_t}^g \theta_t^{x_t} (1 - \theta_t)^{g-x_t}, \quad x_t = 0, 1, 2, 3, \dots, g \quad (1)$$

وان المتوسط المشروط والتباين المشروط يكونان بافتراض  $[\lambda_t = g\theta_t]$ :

$$E(X_t | F_{t-1}) = g\theta_t = \lambda_t \quad (2)$$

$$\text{Var}(X_t | F_{t-1}) = g\theta_t(1 - \theta_t) = \lambda_t \left(1 - \frac{\lambda_t}{g}\right) \quad (3)$$

وعلى فرض ان  $\lambda_t$  معرفة كالآتي:

$$\lambda_t = \alpha_0 + \sum_{i=1}^m \alpha_i X_{t-i} + \sum_{j=1}^s \beta_j \lambda_{t-j}, \quad t \geq \max(m, s) \quad (4)$$

وان  $\alpha_0 > 0, \alpha_i \geq 0, \beta_j \geq 0$  . والمعادلة (4) تمثل نموذج  $GARCH(m,s)$  للاعداد الصحيحة (Integer) يرمز له  $IGARCH(m,s)$ ، وهيكله يشبه نموذج  $GARCH(m,s)$  المعتاد، وهو النموذج الذي يحدد العلاقة بين المتوسط الشرطي والقيم السابقة لـ  $X_t$  و  $\lambda_t$  . وشرط الاستقرارية للنموذج هو:

$$0 < \sum_{i=1}^m \alpha_i + \sum_{j=1}^s \beta_j < 1 \quad (5)$$

وبالامكان كتابة الآتي:

$$X_t = \lambda_t + (X_t - \lambda_t) \quad (6)$$

وعلى فرض ان الخطأ هو:

$$\epsilon_t = X_t - \lambda_t \quad (7)$$

فان:

$$X_t = \lambda_t + \epsilon_t \quad (8)$$

والتوقع الرياضي لـ  $X_t$  يكون:

$$E(X_t) = E[E(X_t | F_{t-1})] = E(\lambda_t) \quad (9)$$

### خصائص السلسلة $\epsilon_t$

#### 1. المتوسط الثابت:

$$E(\epsilon_t) = 0 \quad (10)$$

البرهان:

$$\begin{aligned} E(\epsilon_t) &= E[E(\epsilon_t | F_{t-1})] = E[E\{(X_t - \lambda_t) | F_{t-1}\}] \\ &= E[E\{(X_t - \lambda_t) | F_{t-1}\}] \\ &= E[E(X_t | F_{t-1}) - E(\lambda_t | F_{t-1})] \\ &= E(\lambda_t - \lambda_t) = 0 \end{aligned}$$

#### 2. التباين الثابت:

$$\text{Var}(\epsilon_t) = E(\lambda_t) - \frac{E(\lambda_t^2)}{g} \quad (11)$$

البرهان:

$$\text{Var}(\epsilon_t) = E(\lambda_t) - \frac{E(\lambda_t^2)}{g} = \text{Var}[E(\epsilon_t | F_{t-1})] + E[\text{Var}(\epsilon_t | F_{t-1})]$$

$$\begin{aligned} &= \text{Var}[E(\epsilon_t | F_{t-1})] + E[\text{Var}(\epsilon_t | F_{t-1})] \\ &= 0 + E[\text{Var}(X_t - \lambda_t | F_{t-1})] \\ &= E[\text{Var}(X_t | F_{t-1}) + E[\text{Var}(\lambda_t | F_{t-1})]] \end{aligned}$$

وحيث ان  $\lambda_t$  بدلالة الزمن  $t-1$  فانها معلومة ويكون تباينها صفراً، فالحد الثاني من المعادلة اعلاه يساوي صفراً.

$$\begin{aligned} \text{Var}(\epsilon_t) &= E[\text{Var}(X_t | F_{t-1})] \\ &= E\left[\lambda_t \left(1 - \frac{\lambda_t}{g}\right)\right] \\ &= E(\lambda_t) - \frac{E(\lambda_t^2)}{g} \end{aligned}$$

3. السلسلة غير المترابطة: عندما  $h > 0$

$$\text{Cov}(\epsilon_t, \epsilon_{t+h}) = 0$$

(12).

البرهان:

$$\begin{aligned} \text{Cov}(\epsilon_t, \epsilon_{t+h}) &= E(\epsilon_t, \epsilon_{t+h}) \\ &= E[\epsilon_t(\epsilon_{t+h} | F_{t+h-1})] = 0 \end{aligned}$$

من الخصائص اعلاه فان  $\epsilon_t$  يمثل متغيراً عشوائياً نقياً او ما يعرف بالتشويش الابيض (White Noise). وباخذ التوقع الرياضي لمعادلة  $\lambda_t$  فان متوسط  $X_t$  يكون:

$$E(X_t) = \mu = \alpha_0 / (1 - \sum_{i=1}^m \alpha_i - \sum_{j=1}^s \beta_j) \quad (13)$$

البرهان:

$$E(\lambda_t) = \alpha_0 + \sum_{i=1}^m \alpha_i E(X_{t-i}) + \sum_{j=1}^s \beta_j E(\lambda_{t-j})$$

وعندما تكون  $X_t$  مستقرة فان:

$$E(\lambda_t) = \alpha_0 + \sum_{i=1}^m \alpha_i E(X_t) + \sum_{j=1}^s \beta_j E(\lambda_t)$$

وحيث  $E(X_t) = E(\lambda_t)$  فان:

$$E(X_t) - \sum_{i=1}^m \alpha_i E(X_t) - \sum_{j=1}^s \beta_j E(X_t) = \alpha_0$$

$$E(X_t) = \mu = \alpha_0 / (1 - \sum_{i=1}^m \alpha_i - \sum_{j=1}^s \beta_j)$$

بشرط ان يكون  $0 < \sum_{i=1}^m \alpha_i + \sum_{j=1}^s \beta_j < 1$ ، وبتعويض  $E(X_t)$  اعلاه في معادلة  $\lambda_t$  نحصل على:

$$X_t - \epsilon_t = E(X_t)(1 - \sum_{i=1}^m \alpha_i - \sum_{j=1}^s \beta_j) + \sum_{i=1}^m \alpha_i X_{t-i} + \sum_{j=1}^s \beta_j (X_{t-j} - \epsilon_{t-j})$$

$$X_t - E(X_t) = \sum_{i=1}^m \alpha_i [X_{t-i} - E(X_t)] + \sum_{j=1}^s \beta_j [X_{t-j} - E(X_t)] + \epsilon_{t-j} - \sum_{j=1}^s \beta_j \epsilon_{t-j}$$

$$X_t - E(X_t) = \sum_{i=1}^r (\alpha_i + \beta_i) [X_{t-i} - E(X_t)] + \epsilon_t - \sum_{j=1}^s \beta_j \epsilon_{t-j}$$

حيث  $r = \max(m, s)$ .

ان المعادلة اعلاه تمثل نموذج  $ARMA(r, m)$  بالمعلمات  $\theta_j = \beta_j$  و  $\phi_i = (\alpha_i + \beta_i)$ .

وفي حالة النموذج  $m = s = 1$  فان:

- المتوسط:

$$E(X_t) = \mu = \alpha_0 / (1 - \alpha_1 - \beta_1) \quad (14)$$

- دالة التباين الذاتي (Auto Covariance):

$$\text{Cov}(X_t, X_{t-h}) = \begin{cases} \frac{1 - (\alpha_1 + \beta_1)^2 + \alpha_1^2}{1 - (\alpha_1 + \beta_1)^2 + \alpha_1^2/g} \left[ \mu + \frac{\mu^2}{g} \right], & h = 0 \\ \frac{\alpha_1 [1 - \beta_1 (\alpha_1 + \beta_1)] (\alpha_1 + \beta_1)^{h-1}}{1 - (\alpha_1 + \beta_1)^2 + \alpha_1^2/g} \left[ \mu + \frac{\mu^2}{g} \right], & h \geq 1 \end{cases} \quad (15)$$

- دالة الارتباط الذاتي (Auto Correlation):

$$\text{Corr}(X_t, X_{t-h}) = \frac{\alpha_1 [1 - \beta_1 (\alpha_1 + \beta_1)] (\alpha_1 + \beta_1)^{h-1}}{1 - (\alpha_1 + \beta_1)^2 + \alpha_1^2} \quad (16)$$

- تباين  $\epsilon_t$ :

$$\text{Var}(\epsilon_t) = \frac{1 - (\alpha_1 + \beta_1)^2}{1 - (\alpha_1 + \beta_1)^2 + \alpha_1^2/g} \left[ \mu + \frac{\mu^2}{g} \right] \quad (17)$$

البرهان:

ان النموذج المستخدم هو:

$$\lambda_t = \alpha_0 + \alpha_1 X_{t-1} + \beta_1 \lambda_{t-1}$$

لذا فان:

$$\begin{aligned} E(\lambda_t^2) &= E[\alpha_0 + \alpha_1 X_{t-1} + \beta_1 \lambda_{t-1} + \alpha_1 \lambda_{t-1} - \alpha_1 \lambda_{t-1}]^2 \\ &= E\{[\alpha_0 + (\alpha_1 + \beta_1) \lambda_{t-1}] + \alpha_1 (X_{t-1} - \lambda_{t-1})\}^2 \\ &= E\{[\alpha_0 + (\alpha_1 + \beta_1) \lambda_{t-1}] + \alpha_1 \epsilon_{t-1}\}^2 \\ &= E\{[\alpha_0 + (\alpha_1 + \beta_1) \lambda_{t-1}]^2 + (\alpha_1 \epsilon_{t-1})^2 + 2\{\alpha_0 + (\alpha_1 + \beta_1) \lambda_{t-1}\} \alpha_1 \epsilon_{t-1}\} \\ &\text{ان توقع الحد الاخير يساوي صفرأ لان } \epsilon_{t-1} \text{ و } \lambda_{t-1} \text{ مستقلان كون } \lambda_{t-1} \text{ بدلالة الزمن } (t-2) \text{ وعند} \\ &\text{الاستقرارية فان } E(\lambda_t) = E(\lambda_{t-1}) \text{ و } E(\lambda_t^2) = E(\lambda_{t-1}^2) \end{aligned}$$

$$\begin{aligned} E(\lambda_t^2) &= \alpha_0^2 + (\alpha_1 + \beta_1)^2 E(\lambda_{t-1}^2) + 2\alpha_0(\alpha_1 + \beta_1)E(\lambda_{t-1}) + \alpha_1^2 \mu - \alpha_1^2 \frac{E(\lambda_{t-1}^2)}{g} \\ &= \frac{\alpha_0^2 + 2\alpha_0(\alpha_1 + \beta_1)\mu + \alpha_1^2 \mu}{1 - (\alpha_1 + \beta_1)^2 + \frac{\alpha_1^2}{g}} \\ &= \frac{\mu^2(1 - \alpha_1 - \beta_1)^2 + (\alpha_1 + \beta_1)\mu^2(1 - \alpha_1 - \beta_1) + \alpha_1^2 \mu}{1 - (\alpha_1 + \beta_1)^2 + \frac{\alpha_1^2}{g}} \\ &= \frac{\mu^2\{1 - (\alpha_1 + \beta_1)^2\} + \alpha_1^2 \mu}{1 - (\alpha_1 + \beta_1)^2 + \frac{\alpha_1^2}{g}} \end{aligned}$$

وتعوض هذه النتيجة بالمقدار

$$Var(\epsilon_t) = E(\lambda_t) - \frac{E(\lambda_t^2)}{g}$$

فيكون:

$$\begin{aligned} Var(\epsilon_t) &= \mu - \frac{1}{g} \frac{\mu^2\{1 - (\alpha_1 + \beta_1)^2\} + \alpha_1^2 \mu}{1 - (\alpha_1 + \beta_1)^2 + \frac{\alpha_1^2}{g}} \\ &= \frac{\mu\{1 - (\alpha_1 + \beta_1)^2 + \frac{\alpha_1^2}{g}\} - \frac{1}{g}[\mu^2\{1 - (\alpha_1 + \beta_1)^2\} + \alpha_1^2 \mu]}{1 - (\alpha_1 + \beta_1)^2 + \frac{\alpha_1^2}{g}} \\ &= \frac{\{1 - (\alpha_1 + \beta_1)^2\}}{1 - (\alpha_1 + \beta_1)^2 + \frac{\alpha_1^2}{g}} \left( \mu - \frac{\mu^2}{g} \right) \end{aligned}$$

تقدير المعلمات :

تقدر المعلمات بطريقة الامكان الاعظم، ويتم اخذ اللوغارتم الطبيعي لدالة الكثافة الاحتمالية المشروطة لتوزيع ثنائي الحد وبذلك نحصل على:

$$l_t = \ln(P(X_t = x_t | F_{t-1})) = x_t \ln(\theta_t) + (g - x_t) \ln(1 - \theta_t) + \ln(C_{x_t}^g) \quad (18)$$

وبدلالة  $\lambda_t$  :

$$l_t = x_t \ln(\lambda_t) + (g - x_t) \ln(g - \lambda_t) - x_t \ln(g) - (g - x_t) \ln(g) + \ln(C_{x_t}^g) \quad (19)$$

وحساب المشتقات الاتية:

- مشتقة لوغارتم دالة الكثافة الاحتمالية المشروطة للمتغير  $X_t$  بالنسبة الى  $\alpha_0$

$$\frac{\partial l_t}{\partial \alpha_0} = \left[ \frac{x_t}{\lambda_t} - \frac{g - x_t}{g - \lambda_t} \right] \frac{\partial \lambda_t}{\partial \alpha_0} \quad (20)$$

$$\frac{\partial \lambda_t}{\partial \alpha_0} = 1 + \sum_{k=1}^s \beta_k \frac{\partial \lambda_{t-k}}{\partial \alpha_0} \quad (21)$$

$$t = 1, 2, \dots, n$$

- مشتقة لوغارتم دالة الكثافة الاحتمالية المشروطة للمتغير  $X_t$  بالنسبة الى  $\alpha_i$

$$\frac{\partial l_t}{\partial \alpha_i} = \left[ \frac{x_t}{\lambda_t} - \frac{g - x_t}{g - \lambda_t} \right] \frac{\partial \lambda_t}{\partial \alpha_i} \quad (22)$$

$$\frac{\partial \lambda_t}{\partial \alpha_i} = x_{t-i} + \sum_{k=1}^s \beta_k \frac{\partial \lambda_{t-k}}{\partial \alpha_i} \quad (23)$$

$$t = 1, 2, \dots, n, \quad i = 1, 2, \dots, m$$

- مشتقة لوغارتم دالة الكثافة الاحتمالية المشروطة للمتغير  $X_t$  بالنسبة الى  $\beta_j$

$$\frac{\partial l_t}{\partial \beta_j} = \left[ \frac{x_t}{\lambda_t} - \frac{g-x_t}{g-\lambda_t} \right] \frac{\partial \lambda_t}{\partial \beta_j} \quad (24)$$

$$\frac{\partial \lambda_t}{\partial \beta_j} = \lambda_{t-j} + \sum_{k=1}^s \beta_k \frac{\partial \lambda_{t-k}}{\partial \beta_j} \quad (25)$$

$t = 1, 2, \dots, n, j = 1, 2, \dots, s$

ويتم التقدير بطريقة BHHH التكرارية. وهي احدى الطرق العديدة المشتقة من طريقة Newton-Raphson التكرارية التي وجدها الباحثين (Berndt, Hall, Hall and Hausman) المعروفة التي يقدر بها متجه المعلمات ( $\psi = [\alpha_0 \alpha_1 \dots \alpha_m \beta_1 \dots \beta_s]'$ ) وفق الصيغة الاتية:

$$\psi_{k+1} = \psi_k + B_k^{-1} V_k \quad (26)$$

المعطيات في الدورة k.

$\psi_{k+1}$  متجه المعلمات في الدورة k+1.

$V_k$  متجه المشتقة الاولى في الدورة k وبالصيغة:

$$V_k = \sum_{t=1}^n \left( \frac{\partial l_t}{\partial \phi_0} \frac{\partial l_t}{\partial \phi_1} \dots \frac{\partial l_t}{\partial \theta_q} \frac{\partial l_t}{\partial \alpha_0} \frac{\partial l_t}{\partial \alpha_1} \dots \frac{\partial l_t}{\partial \beta_s} \right)' \quad (27)$$

$B_k$  مصفوفة المشتقة الثانية في الدورة k وبالصيغة:

$$B_k = \sum_{t=1}^n \left( \frac{\partial l_t}{\partial \phi_0} \frac{\partial l_t}{\partial \phi_1} \dots \frac{\partial l_t}{\partial \theta_q} \frac{\partial l_t}{\partial \alpha_0} \frac{\partial l_t}{\partial \alpha_1} \dots \frac{\partial l_t}{\partial \beta_s} \right)' \left( \frac{\partial l_t}{\partial \phi_0} \frac{\partial l_t}{\partial \phi_1} \dots \frac{\partial l_t}{\partial \theta_q} \frac{\partial l_t}{\partial \alpha_0} \frac{\partial l_t}{\partial \alpha_1} \dots \frac{\partial l_t}{\partial \beta_s} \right) \quad (28)$$

ويعاد تكرار تقدير المعلمات حتى تتقارب المقدرات بين دورتين متتاليتين بفرق صغير يحدده الباحث مثل

0.0001.

## نتائج تجربة المحاكاة

تم تصميم تجربة محاكاة لثلاث نماذج واختيار ثلاث قيم افتراضية للمعطيات لكل نموذج والموصوفة في الجدول الاتي :

### جدول (1)

يبين القيم الافتراضية المستخدمة في تجارب المحاكاة لتوليد معلمات النماذج المقترحة

Model	Parameters														
	Case 1					Case 2					Case 3				
	g	$\alpha_0$	$\alpha_1$	$\alpha_2$	$\beta_1$	g	$\alpha_0$	$\alpha_1$	$\alpha_2$	$\beta_1$	g	$\alpha_0$	$\alpha_1$	$\alpha_2$	$\beta_1$
GARCH(1,0)	30	3	0.15	-	-	10	4	0.5	-	-	20	1	0.9	-	-
GARCH(2,0)	20	2	0.4	0.5	-	40	4	0.1	0.2	-	30	5	0.2	0.3	-
GARCH(1,1)	22	4	0.3	-	0.5	14	2	0.7	-	0.15	32	5	0.2	-	0.3

ومن ثم المقارنة بين مقدرات التوزيع الطبيعي ومقدرات توزيع ثنائي الحد، حيث تم توليد السلسلة الزمنية باستخدام مولد الاعداد العشوائية وفق الخوارزمية الاتية:

اختر (g) من القيم العشوائية التي تتبع توزيع  $uniform(0,1)$ ، وعدد القيم التي تقل عن (p) تمثل رقماً عشوائياً لتوزيع  $Binomial(g,p)$ .

وبعد تنفيذ التجربة تم مقارنة النتائج بين توزيع ثنائي الحد والتوزيع الطبيعي حسب معيار متوسط مربعات الخطأ ومعيار معدل المقدر وللنماذج كافة. وتم عرض النتائج التي تم الحصول عليها كما في الجداول المرقمة من (2) الى (4). اما خلاصة هذه النتائج فقد وضعت في الجدول (5) والذي من خلاله يتضح ان المقدرات لمجمل النماذج ولمجمل احجام العينات المدروسة تقترب من توزيع ثنائي الحد بنسبة 87%، وبنسبة 93% لنموذجي GARCH(1,1) و GARCH(2,0)، وبنسبة 73% لنموذج GARCH(1,0) لجميع احجام العينات.

كما يلاحظ ان ميل المقدرات للتوزيع الطبيعي تزداد مع ازدياد حجم العينة بشكل عام وهذا يتفق مع نظرية الغاية المركزية. الا انه يلاحظ من خلال الجداول المرقمة من (2) الى (4) تفوق مقدرات توزيع ثنائي الحد بنسبة 100% في حالة حجمي العينتين 50 و 100 مشاهدة ومن ثم ينخفض الى 89% عند حجم

العينة 250 مشاهدة و67% عند حجم العينة 500 مشاهدة ومن ثم ترتفع النسبة الى 78% عند حجم عينة 750 مشاهدة.

جدول (2)  
نتائج المحاكاة لنموذج GARCH(1,0)

	n	P	APV	Normal		Binomial		RE	
				E(P)	MSE	E(P)	MSE		
Case 1 (g = 30)	50	$\alpha_0$	3	3.123353	0.3192629	2.972963	0.1574927	0.493301	
		$\alpha_1$	0.15	0.1109038	0.0218022	0.1474938	9.52E-03	0.436714	
	100	$\alpha_0$	3	3.068556	0.160207	2.995863	9.75E-02	0.6083626	
		$\alpha_1$	0.15	0.1276971	1.09E-02	0.1447974	6.34E-03	0.5801358	
	250	$\alpha_0$	3	3.027723	6.02E-02	3.010942	5.13E-02	0.8529823	
		$\alpha_1$	0.15	0.1421201	4.01E-03	0.1462086	3.35E-03	0.8346925	
	500	$\alpha_0$	3	3.011781	0.0334284	3.012501	3.66E-02	1.094211	
		$\alpha_1$	0.15	0.146553	2.28E-03	0.1466421	2.37E-03	1.040104	
	750	$\alpha_0$	3	3.005868	2.22E-02	3.010068	2.66E-02	1.198609	
		$\alpha_1$	0.15	0.148922	1.51E-03	0.1481549	1.79E-03	1.188574	
	Case 2 (g = 10)	50	$\alpha_0$	4	4.35068	1.231763	4.124478	0.4791069	0.3889603
			$\alpha_1$	0.5	0.4508439	1.79E-02	0.4786048	7.13E-03	0.3973414
100		$\alpha_0$	4	4.213093	0.6318272	4.128018	0.4308406	0.6818963	
		$\alpha_1$	0.5	0.471201	8.97E-03	0.4817818	6.17E-03	0.6878574	
250		$\alpha_0$	4	4.05994	0.2307845	4.049859	0.2546254	1.103304	
		$\alpha_1$	0.5	0.4917576	3.25E-03	0.493259	3.53E-03	1.086095	
500		$\alpha_0$	4	4.019403	0.1155037	4.028639	0.1373639	1.18926	
		$\alpha_1$	0.5	0.4968669	1.63E-03	0.4959183	1.90E-03	1.167861	
750		$\alpha_0$	4	4.049061	8.86E-02	4.043136	8.76E-02	0.9891429	
		$\alpha_1$	0.5	0.4933786	1.28E-03	0.4941965	1.24E-03	0.9685552	
Case 3 (g = 20)		50	$\alpha_0$	1	1.370459	0.8084295	1.267783	0.2746791	0.3397688
			$\alpha_1$	0.9	0.832977	1.16E-02	0.8439269	7.15E-03	0.6183025
	100	$\alpha_0$	1	1.190252	0.27043	1.17664	0.1766865	0.6533539	
		$\alpha_1$	0.9	0.8705426	3.00E-03	0.871297	2.71E-03	0.9028304	
	250	$\alpha_0$	1	1.07305	9.60E-02	1.052186	6.54E-02	0.6811902	
		$\alpha_1$	0.9	0.8886445	8.94E-04	0.8908729	6.73E-04	0.7523627	
	500	$\alpha_0$	1	1.036518	4.41E-02	1.011247	2.45E-02	0.5553413	
		$\alpha_1$	0.9	0.8937868	3.93E-04	0.8960994	2.03E-04	0.5169678	
	750	$\alpha_0$	1	1.035987	2.84E-02	1.00838	8.63E-03	0.3033954	
		$\alpha_1$	0.9	0.8956233	2.20E-04	0.8980335	5.278E-05	0.2397574	

n: حجم العينة ، P : المعلمات ، APV: القيمة الافتراضية للمعلمة ، E(P) : متوسط قيم المعلمة المقدرة ، MES : متوسط مربعات الخطأ ، RE : الكفاءة النسبية .

جدول (3)  
نتائج المحاكاة لنموذج GARCH(2,0)

	n	P	APV	Normal		Binomial		RE
				E(P)	MSE	E(P)	MSE	
Case 1 (g = 20)	50	$\alpha_0$	2	1.646734	0.8600256	1.918549	7.31E-02	8.50E-02
		$\alpha_1$	0.4	0.6660286	9.45E-02	0.615435	6.82E-02	0.721482
		$\alpha_2$	0.5	0.2288352	0.0232591	0.2812952	6.82E-02	2.930678
	100	$\alpha_0$	2	1.577928	0.6689076	1.949432	5.84E-03	8.73E-03
		$\alpha_1$	0.4	0.6896493	0.1038429	0.6310854	7.11E-02	0.6844739
		$\alpha_2$	0.5	0.2216518	2.27E-02	0.2711624	7.11E-02	3.124725
	250	$\alpha_0$	2	1.687541	0.6319147	1.955551	1.97E-03	3.11E-03
		$\alpha_1$	0.4	0.7173651	0.1178558	0.6556618	8.10E-02	0.687493
		$\alpha_2$	0.5	0.1945255	2.02E-02	0.2465581	8.10E-02	4.016217
	500	$\alpha_0$	2	1.705201	0.6082226	1.955551	1.96E-03	3.23E-03
		$\alpha_1$	0.4	0.7150847	0.1155443	0.6534323	7.89E-02	0.6828019
		$\alpha_2$	0.5	0.1977121	1.91E-02	0.2487877	7.89E-02	4.121133
	750	$\alpha_0$	2	1.655784	0.5823795	1.955551	1.97E-03	3.38E-03
		$\alpha_1$	0.4	0.7253535	0.1223694	0.6634332	8.48E-02	0.6929445
		$\alpha_2$	0.5	0.1905446	1.92E-02	0.2387869	8.48E-02	4.409076
Case 2 (g = 40)	50	$\alpha_0$	4	4.512524	1.844535	4.001144	0.4392985	0.2381622
		$\alpha_1$	0.1	6.52E-02	2.36E-02	0.1168496	1.48E-02	0.6281539
		$\alpha_2$	0.2	0.1445048	2.19E-02	0.1784741	1.48E-02	0.6761445
	100	$\alpha_0$	4	4.224627	0.6316507	3.985263	0.305736	0.484027
		$\alpha_1$	0.1	8.74E-02	1.12E-02	0.1142185	9.65E-03	0.8612689
		$\alpha_2$	0.2	0.1685914	9.58E-03	0.1824651	9.65E-03	1.006858
	250	$\alpha_0$	4	4.076427	0.2575542	3.961385	0.1680989	0.6526738
		$\alpha_1$	0.1	9.80E-02	4.35E-03	0.1092634	4.07E-03	0.9360659
		$\alpha_2$	0.2	0.1868608	3.81E-03	0.1949358	4.07E-03	1.066525
	500	$\alpha_0$	4	4.020956	0.1143616	3.95872	9.35E-02	0.8171885
		$\alpha_1$	0.1	9.90E-02	1.89E-03	0.1047923	1.99E-03	1.049463
		$\alpha_2$	0.2	0.1955108	1.85E-03	0.2001881	1.99E-03	1.074386
	750	$\alpha_0$	4	4.003464	7.83E-02	3.953145	0.0598487	0.764178
		$\alpha_1$	0.1	9.96E-02	1.41E-03	0.103865	1.12E-03	0.7945814
		$\alpha_2$	0.2	0.2002008	1.05E-03	0.204331	1.12E-03	1.06677
Case 3 (30)	50	$\alpha_0$	5	5.788731	3.446687	5.198272	0.5478686	0.1589551
		$\alpha_1$	0.2	0.1776372	2.02E-02	0.2076588	1.39E-02	0.6849728
		$\alpha_2$	0.3	0.2340915	1.71E-02	0.261801	1.39E-02	0.8119182
	100	$\alpha_0$	5	5.384755	1.608743	5.130565	0.4567232	0.2839007
		$\alpha_1$	0.2	0.1949208	1.03E-02	0.2077841	8.33E-03	0.8112366
		$\alpha_2$	0.3	0.2595646	9.57E-03	0.2714163	8.33E-03	0.8705218
	250	$\alpha_0$	5	5.194591	0.6295731	5.121688	0.4013169	0.6374429
		$\alpha_1$	0.2	0.1958625	3.94E-03	0.1990481	3.41E-03	0.8649536
		$\alpha_2$	0.3	0.2832765	3.61E-03	0.2869316	3.41E-03	0.9443222
	500	$\alpha_0$	5	5.07216	0.3016486	5.053593	0.2919825	0.9679558
		$\alpha_1$	0.2	0.1978532	1.99E-03	0.1988244	2.03E-03	1.02005
		$\alpha_2$	0.3	0.293914	2.07E-03	0.2947845	2.03E-03	0.9808311
	750	$\alpha_0$	5	5.098794	0.2147851	5.064876	0.1896453	0.8829538
		$\alpha_1$	0.2	0.194678	1.19E-03	0.1967934	1.25E-03	1.054641
		$\alpha_2$	0.3	0.2949803	1.26E-03	0.2961883	1.25E-03	0.99417

n : حجم العينة ، P : المعلمات ، APV : القيمة الافتراضية للمعلمة ، E(P) : متوسط قيم المعلمة القدرة ،  
MES : متوسط مربعات الخطأ ، RE : الكفاءة النسبية

جدول (4)  
نتائج المحاكاة لنموذج GARCH(1,1)

	n	P	APV	Normal		Binomial		RE
				E(P)	MSE	E(P)	MSE	
Case 1 (g = 22)	50	$\alpha_0$	4	4.483066	6.250755	3.985636	0.0122027	1.95E-03
		$\alpha_1$	0.3	0.5829034	9.51E-02	0.156467	2.97E-02	0.3122363
		$\beta_1$	0.5	0.1783909	3.92E-02	0.6441586	9.02E-03	0.2300033
	100	$\alpha_0$	4	4.436944	3.060883	3.995678	4.64E-03	1.52E-03
		$\alpha_1$	0.3	0.5275593	6.15E-02	0.2039138	1.56E-02	0.2534678
		$\beta_1$	0.5	0.2435833	2.19E-02	0.5965017	6.34E-03	0.2897983
	250	$\alpha_0$	4	4.205812	1.775709	3.999684	2.00E-03	1.12E-03
		$\alpha_1$	0.3	0.4391253	2.41E-02	0.2506411	5.20E-03	0.2156773
		$\beta_1$	0.5	0.3478951	1.13E-02	0.5495856	2.76E-03	0.243987
	500	$\alpha_0$	4	4.301978	1.235619	3.99843	9.84E-04	7.97E-04
		$\alpha_1$	0.3	0.3890503	1.02E-02	0.277165	1.97E-03	0.1923168
		$\beta_1$	0.5	0.3944001	6.26E-03	0.5229243	1.45E-03	0.2310533
	750	$\alpha_0$	4	4.175744	0.665304	4.00104	6.27E-04	9.43E-04
		$\alpha_1$	0.3	0.3635033	5.42E-03	0.2811692	1.38E-03	0.2540444
		$\beta_1$	0.5	0.4268253	3.64E-03	0.5188962	1.02E-03	0.2808949
Case 2 (g = 14)	50	$\alpha_0$	2	2.523081	2.547191	1.657288	0.4742578	0.1861885
		$\alpha_1$	0.7	0.7780667	2.89E-02	0.4117181	0.1060554	3.675574
		$\beta_1$	0.15	1.68E-02	3.81E-02	0.4651104	1.93E-02	0.5071036
	100	$\alpha_0$	2	2.365059	1.549919	1.533666	0.4651078	0.3000852
		$\alpha_1$	0.7	0.7644983	2.07E-02	0.4921449	5.64E-02	2.726669
		$\beta_1$	0.15	5.06E-02	2.45E-02	0.3933874	1.07E-02	0.4384243
	250	$\alpha_0$	2	2.353556	1.04236	1.575376	0.4702924	0.4511804
		$\alpha_1$	0.7	0.7424867	0.0100512	0.5761839	2.12E-02	2.107503
		$\beta_1$	0.15	0.0783556	1.27E-02	0.3058642	3.95E-03	0.3103555
	500	$\alpha_0$	2	2.248952	0.6064194	1.612568	0.4751188	0.7834822
		$\alpha_1$	0.7	0.7345192	6.55E-03	0.6286185	8.53E-03	1.301309
		$\beta_1$	0.15	9.55E-02	7.85E-03	0.2501864	2.33E-03	0.2969768
	750	$\alpha_0$	2	2.204155	0.374889	1.713337	0.4792881	1.27848
		$\alpha_1$	0.7	0.7200163	3.84E-03	0.6438345	5.90E-03	1.53839
		$\beta_1$	0.15	0.1139518	5.06E-03	0.2275666	1.52E-03	0.3001753
Case 3 (32)	50	$\alpha_0$	5	8.615135	50.19957	4.853535	0.5728694	1.14E-02
		$\alpha_1$	0.2	0.1831489	0.030269	0.1664095	1.45E-02	0.4806194
		$\beta_1$	0.3	-5.16E-02	0.4086709	0.3466725	2.17E-02	5.32E-02
	100	$\alpha_0$	5	7.768654	33.0485	4.938667	0.5904116	0.017865
		$\alpha_1$	0.2	0.19393	1.18E-02	0.1783215	9.42E-03	0.8009278
		$\beta_1$	0.3	2.39E-02	0.2547772	0.3262122	1.64E-02	6.44E-02
	250	$\alpha_0$	5	6.265903	13.70592	4.921237	0.5805618	4.24E-02
		$\alpha_1$	0.2	0.1983759	4.46E-03	0.1906284	4.15E-03	0.9305733
		$\beta_1$	0.3	0.1735718	0.1187097	0.3162517	1.10E-02	9.27E-02
	500	$\alpha_0$	5	5.541275	4.233735	4.964084	0.5848762	0.1381466
		$\alpha_1$	0.2	0.2015651	1.76E-03	0.197898	1.62E-03	0.9256275
		$\beta_1$	0.3	0.2434186	4.40E-02	0.3050645	8.15E-03	0.1851023
	750	$\alpha_0$	5	5.269657	2.187821	4.941079	0.525733	0.2402998
		$\alpha_1$	0.2	0.19944	1.19E-03	0.1968982	1.13E-03	0.9470821
		$\beta_1$	0.3	0.2730612	2.43E-02	0.308572	7.12E-03	0.292929

n : حجم العينة ، P : المعلمات ، APV : القيمة الافتراضية للمعلمة ، E(P) : متوسط قيم المعلمة القدرة ،  
MES : متوسط مربعات الخطأ ، RE : الكفاءة النسبية



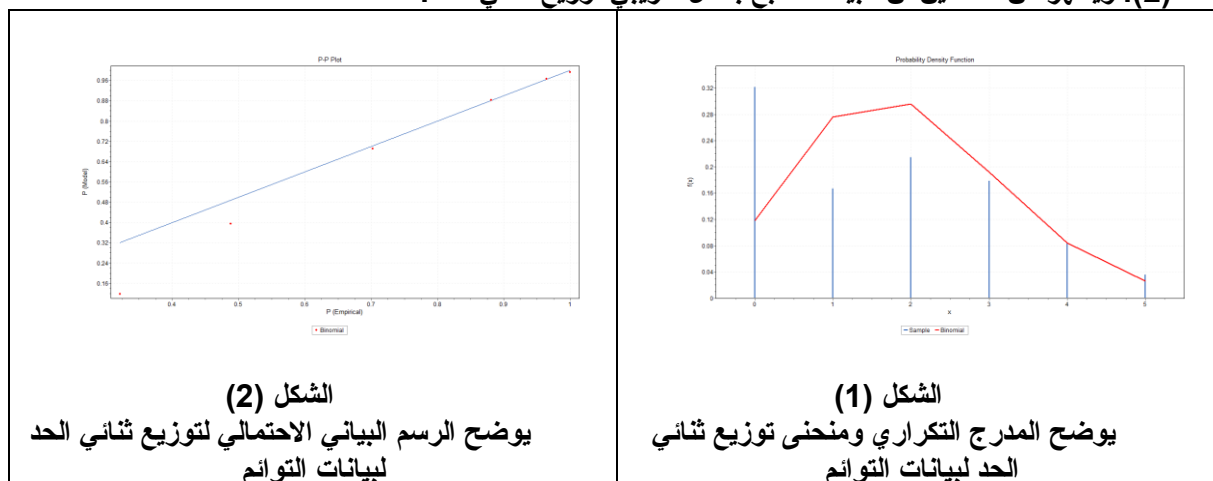
جدول (5)  
مقارنة توزيع ثنائي الحد مع التوزيع الطبيعي

Model	n Case	50			100			250			500			750			Binomial	
		1	2	3	1	2	3	1	2	3	1	2	3	1	2	3	Total	Percent
GARCH(1,0)		B	B	B	B	B	B	B	N	B	N	N	B	N	B	B	11	73%
GARCH(2,0)		B	B	B	B	B	B	B	B	B	B	N	B	B	B	B	14	93%
GARCH(1,1)		B	B	B	B	B	B	B	B	B	B	B	B	N	B	14	93%	
Binomial	Total	9			9			8			6			7			39	
	Percent	100%			100%			89%			67%			78%			87%	

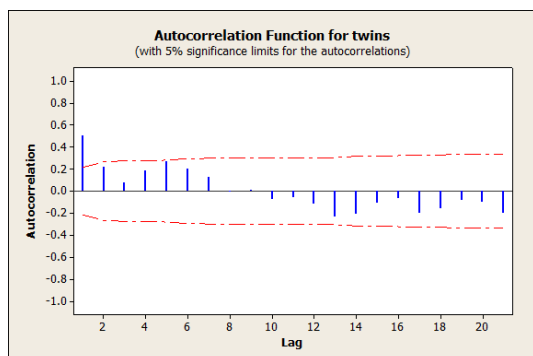
B=Binomial , N=Normal

### التطبيق

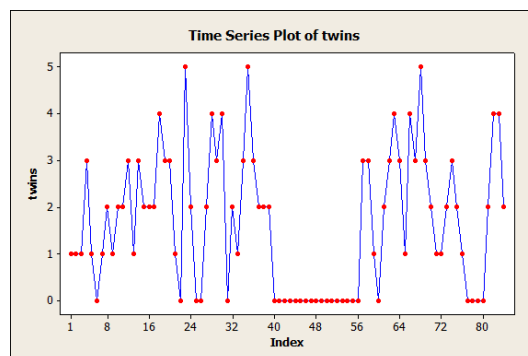
تم اخذ عينة بحجم 84 مشاهدة تمثل عدد ولادة التوائم اسبوعياً في مستشفى ابن البلدي-بغداد للمدة من 2014-1-1 ولغاية 2015-8-3. وتم تبويب البيانات ورسم المدرج التكراري مع منحنى توزيع Binomial(12,0.163) والموضح بالشكل (1). كما تم ادراج الرسم البياني الاحتمالي والموضح بالشكل (2). ويظهر من الشكلين ان البيانات تتبع بشكل تقريبي توزيع ثنائي الحد.



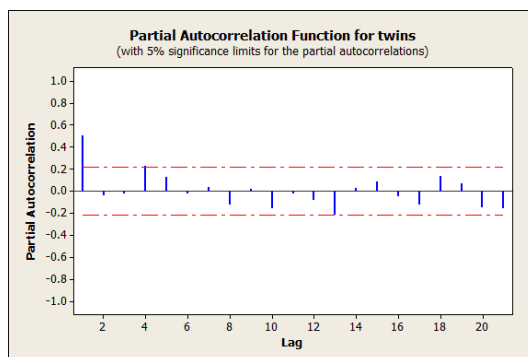
ومن ثم رسمت السلسلة الزمنية لبيانات التوائم كما في الشكل (3) ودالتى الارتباط الذاتي والارتباط الذاتي الجزئي كما في الشكلين (4) و (5) على التوالي حيث يتبين بوضوح وجود الاعتماد المتسلسل في البيانات .



الشكل (4)  
يوضح دالة الارتباط الذاتي لبيانات التوائم



الشكل (3)  
يوضح السلسلة الزمنية لبيانات التوائم



الشكل (5)  
يوضح دالة الارتباط الذاتي الجزئي لبيانات التوائم

وتم اجراء اختبار Lagrange Multiplier للبيانات كما في الصيغة الاتية:

$$LM = nR^2 \sim \chi^2_{(u)} \quad (29)$$

حيث  $n$  تمثل حجم العينة و  $R^2$  يمثل معامل التحديد. والاختبار يعادل احصاءة F لاختبار الفرضية:

$$H_0: \omega_1 = \omega_2 = \dots = \omega_u$$

لمعادلة الاتحاد الاتية:

$$a_t^2 = \omega_0 + \omega_1 a_{t-1}^2 + \dots + \omega_u a_{t-u}^2 + e_t, \quad t = u + 1, \dots, n \quad (30)$$

وترفض فرضية العدم عند مستوى معنوية معين ( $\alpha$ ) عندما يكون  $LM > \chi^2_{(u)}$ .

ويتضح من الجدول (6) وان جميع فرضيات العدم قد رفضت مما يؤكد النتيجة السابقة بوجود الاعتماد المتسلسل في البيانات.

جدول (6)

يوضح اختبار Lagrange Multiplier لبيانات التوائم

p	LM	Chi <sup>2</sup> (0.05,n)	Decision
6	24.57	12.59	Reject H0
5	25.04	11.07	Reject H0
4	23.68	9.49	Reject H0
3	20.17	7.81	Reject H0
2	20.50	5.99	Reject H0
1	20.75	3.84	Reject H0

ولاجل ازالة تأثير الاعتماد المتسلسل تم مطابقة النماذج IGARCH(0,1) و GARCH(0,2) و IGARCH(1,1) و ادرجت نتائجها في الجدول (7) ويتبين من خلاله ان النموذج IGARCH(1,1) هو الافضل لكونه يمتلك اقل قيمة لمعيار AIC.

جدول (7)  
يوضح تقدير المعلمات للنماذج المدروسة

g	$\alpha_0$	$\alpha_1$	$\alpha_2$	$\beta_1$	Ln(likeliho)	AIC
12	.731	.552	-	-	-130.209	3.1478
12	.692	.545	.033	-	-130.141	3.1462
12	.473	.498	-	.214	-129.976	3.1423

وتم حساب البواقي القياسية حسب صيغة Person الآتية<sup>[7]</sup>:

$$PR = \frac{x_t - E(x_t | F_{t-1})}{\sqrt{Var(x_t | F_{t-1})}} \quad (31)$$

وأجراء اختبار Lagrange Multiplier الذي وضعت نتائجه في الجدول (8). وقد تم قبول جميع فرضيات العدم مما يدل على إزالة تأثير الاعتماد المتسلسل من البيانات.

جدول (8)  
يوضح اختبار Lagrange Multiplier للبواقي القياسية

p	LM	chi <sup>2</sup> (0.95,n)	Decision
6	7.25	12.59	Accept Ho
5	7.43	11.07	Accept Ho
4	4.80	9.49	Accept Ho
3	3.40	7.81	Accept Ho
2	1.48	5.99	Accept Ho
1	0.42	3.48	Accept Ho

وبذلك فإن النموذج النهائي يكون كالآتي:

$$\lambda_t = 0.473 + 0.498x_{t-1} + 0.214\lambda_{t-1}$$

ونستنتج من النتائج التجريبية ان النماذج IGARCH(0,1) و IGARCH(2,0) و IGARCH(1,1) كانت تمثل البيانات المولدة من توزيع ثنائي الحد بنسبة كبيرة. واطهر الجانب التطبيقي ان نموذج IGARCH(1,1) كان الافضل في مطابقة بيانات عدد ولادة التوازم الاسبوعي. ونوصي باعتماد نموذج IGARCH عندما تتبع البيانات توزيع ثنائي الحد وتعاني من مشكلة عدم تجانس التباين المشروط بالمعلومات السابقة. ودراسة نماذج ذات رتب اعلى من النماذج المدروسة في هذا البحث

#### المصادر:

- 1- Christou V. (2013), Statistical Theory for Mixed Poisson Time Series Models, Ph.D. University of Cyprus, Department of Mathematics and Statistics.
- 2- Ferland, R., Latour A., & Oraichi D. (2006), "Integer-Valued GARCH Processes" Journal of Time Series Analysis, Vol. 27, pp 923-942.
- 3- Fokianos K. (2012), "Count Time Series Models" Handbook of Statistics Time Series Analysis Methods and Applications, Vol. 30, 315-348.
- 4- Fokianos K., Rahbek A., & Tjostheim D. (2009), "Poisson Autoregression". Journal of the American Statistical Association. Vol. 104, pp. 1430-1439.
- 5- Weiß C.H. (2010), "INARCH(1) Processes: Higher-Order Moments and Jumps" Statistics and Probability Letters, Vol. 80, pp 1771-1780.
- 6- Zhou j. (2009), "Modeling S&P 500 Stock Index Using ARMA-Asymmetric Power ARCH models" Master thesis in Statistics School of Economics and Social Science Högskolan Dalarna, Sweden.
- 7- Zhu F. (2011), " A Negative Binomial Integer-Valued GARCH model" Journal of Time Series Analysis, Vol. 32, pp 54-67.
- 8- Zhu F. (2012), " Modeling Overdispersed or Underdispersed Count Data with Generalized Poisson Integer-Valued GARCH Models" Journal of Mathematical Analysis and Applications, Vol. 389, pp 58-71.
- 9- Zhu F. & Wang D. (2011), "Estimation and Testing for a Poisson Autoregressive Model" Metrika, Vol. 73, pp 211-230.